

# Institut Néel Institut Laue Langevin



# De l'atome à la structure de bande en passant par les interactions magnétiques

#### Marie-Bernadette Lepetit

 $^1 \mbox{Institut}$  Néel - 25 rue des Martyrs - Grenoble - France  $^2 \mbox{Institut}$  Laue Langevin - 71 avenue des Martyrs - Grenoble - France

Ecole GdR Matériaux et Interactions en COmpétitions ILL, May  $25^{\rm th}-31^{\rm th}$  2014



- 1. Les fortes corrélations électroniques, qu'est ce que c'est?
  - 1.1 De l'Hamiltonien électronique aux Hamiltoniens modèles
  - 1.2 Quels systèmes?
  - 1.3 L'exemple le plus simple  $H_2$  à grande distance
- 2. L'atome dans son environnement
- 3. Interaction entre deux atomes
- 4. Le système infini

- 1. Les fortes corrélations électroniques, qu'est ce que c'est?
- 2. L'atome dans son environnement
  - 2.1 Levée de dégénéréscence orbitalaire
    - ► La théorie de champs de ligands
    - Quelques exemples classiques d'environnements
  - 2.2 Etat fondamental atomique
    - Les paramètres importants
    - Exemples
    - ► La distorsion de Jahn-Teller
- 3. Interaction entre deux atomes
- 4. Le système infini

- 1. Les fortes corrélations électroniques, qu'est ce que c'est?
- 2. L'atome dans son environnement
- 3. Interaction entre deux atomes
  - 3.1 Quels atomes/orbitales atomiques participent à la physique de basse énergie?
  - 3.2 Différents termes du couplage
    - Quelles interactions effectives, quel contenu?
    - Mécanismes de transfert
    - Mécanismes d'échange
  - 3.3 Influence de la géométrie
    - Systèmes non pontés
    - Systèmes pontés
  - 3.4 Couplage entre atomes à plusieurs couches ouvertes
- 4. Le système infini

- 1. Les fortes corrélations électroniques, qu'est ce que c'est?
- 2. L'atome dans son environnement
- 3. Interaction entre deux atomes
- 4. Le système infini
  - 4.1 La structure de bande

De l'Hamiltonien électronique aux Hamiltoniens modèles

# Hamiltonien électronique

$$\hat{\mathcal{H}} = \frac{-\frac{1}{2} \frac{\hbar^2}{m_e} \sum_{i=1}^{N_e} \vec{\nabla}_{\vec{r}_i}^2}{-\frac{e^2}{4\pi\epsilon_0} \sum_{i=1}^{N_e} \sum_{l=1}^{N_{At}} \frac{Z_l}{|\vec{R}_l - \vec{r}_i|}}$$

#### répulsion électron-électron

$$+\frac{e^2}{4\pi\epsilon_0}\sum_{i=1}^{N_e}\sum_{j=1}^{i-1}\frac{1}{|\vec{r}_i-\vec{r}_j|}$$

#### répulsion noyau-noyau

$$\overbrace{+\frac{e^2}{4\pi\epsilon_0}\sum_{i=1}^{N_e}\sum_{j=1}^{i-1}\frac{1}{|\vec{r}_i-\vec{r}_j|}}^{N_e} \overbrace{+\frac{e^2}{4\pi\epsilon_0}\sum_{l=1}^{N_{At}}\sum_{J=1}^{l-1}\frac{Z_IZ_J}{|\vec{R}_I-\vec{R}_J|}}^{N_{At}}$$

Unités atomiques :

$$ightharpoonup m_{e}=1$$

$$ightharpoonup e = 1$$
 $ightharpoonup 4\pi\epsilon_0 = 1$ 

De l'Hamiltonien électronique aux Hamiltoniens modèles

$$\hat{H} = -\frac{1}{2} \sum_{i=1}^{N_e} \left( \vec{\nabla}_{\vec{r}_i}^2 - \sum_{I=1}^{N_{At}} \frac{Z_I}{|\vec{R}_I - \vec{r}_i|} \right) + \sum_{i=1}^{N_e} \sum_{j=1}^{i-1} \frac{1}{|\vec{r}_i - \vec{r}_j|}$$

$$\xrightarrow{\text{constante}} + \sum_{I=1}^{N_{At}} \sum_{J=1}^{I-1} \frac{Z_I Z_J}{|\vec{R}_I - \vec{R}_J|}$$

De l'Hamiltonien électronique aux Hamiltoniens modèles

# Hamiltonien électronique en unités atomiques

$$\hat{H} = -\frac{1}{2} \sum_{i=1}^{N_e} \left( \vec{\nabla}_{\vec{r}_i}^2 - \sum_{l=1}^{N_{At}} \frac{Z_l}{|\vec{R}_l - \vec{r}_i|} \right) + \sum_{i=1}^{N_e} \sum_{j=1}^{i-1} \frac{1}{|\vec{r}_i - \vec{r}_j|}$$

Propriétés  $\longrightarrow$  uniquement  $\bar{e}$  au niveau de Fermi  $\longrightarrow \hat{H}_{\rm eff}$ On prend en compte de manière effective l'effet des autres électrons.

De l'Hamiltonien électronique aux Hamiltoniens modèles

$$\hat{H} = -\frac{1}{2} \sum_{i=1}^{N_e} \left( \vec{\nabla}_{\vec{r}_i}^2 - \sum_{l=1}^{N_{At}} \frac{Z_l}{|\vec{R}_l - \vec{r}_i|} \right) + \dots$$

$$\hat{H}_{\mathrm{Hubbard}} \ = \ \underbrace{\sum_{i}^{\text{\'energies orbitalaires}}_{i} \varepsilon_{i} \hat{n}_{i}}_{\text{\'energies orbitalaires}} + \underbrace{\sum_{i,j,\sigma}^{\text{\'energies}} t_{ij} \left( \hat{c}_{i,\sigma}^{\dagger} \hat{c}_{j,\sigma} + c.c. \right)}_{i,j,\sigma} \ + \ \dots$$

De l'Hamiltonien électronique aux Hamiltoniens modèles

$$\hat{H} = \overbrace{-\frac{1}{2}\sum_{i=1}^{N_e} \left(\vec{\nabla}_{\vec{r}_i}^2 - \sum_{l=1}^{N_{At}} \frac{Z_l}{|\vec{R}_l - \vec{r}_i|}\right)}^{\text{1-électron}} + \underbrace{\sum_{i=1}^{N_e} \sum_{j=1}^{i-1} \frac{1}{|\vec{r}_i - \vec{r}_j|}}_{\text{corrélation électronique}}$$

$$\hat{H}_{\mathrm{Hubbard}} = \sum_{i} \varepsilon_{i} \hat{n}_{i} + \sum_{i,j,\sigma} t_{ij} \left( \hat{c}_{i,\sigma}^{\dagger} \hat{c}_{j,\sigma} + c.c. \right) + \sum_{i} U_{i} \hat{n}_{i\uparrow} \hat{n}_{i\downarrow}$$

De l'Hamiltonien électronique aux Hamiltoniens modèles

$$\hat{H} = \overbrace{-\frac{1}{2}\sum_{i=1}^{N_{\rm e}} \left(\vec{\nabla}_{\vec{r}_i}^2 - \sum_{l=1}^{N_{\rm At}} \frac{Z_l}{|\vec{R}_l - \vec{r}_i|}\right)}^{\text{1-électron}} + \underbrace{\sum_{i=1}^{N_{\rm e}} \sum_{j=1}^{i-1} \frac{1}{|\vec{r}_i - \vec{r}_j|}}_{\text{Ne}}$$

$$\hat{\mathcal{H}}_{\mathrm{Hubbard}} = \sum_{i} \varepsilon_{i} \hat{n}_{i} + \sum_{i,j,\sigma} t_{ij} \left( \hat{c}_{i,\sigma}^{\dagger} \hat{c}_{j,\sigma} + c.c. \right) + \sum_{i} U_{i} \hat{n}_{i\uparrow} \hat{n}_{i\downarrow}$$

ou 
$$\hat{H}_{\text{Heisenberg}} = \sum_{i,j} J_{ij} \hat{\vec{S}}_i \cdot \hat{\vec{S}}_j$$

Quels systèmes?

Modèle de Hubbard

 $\textbf{U}\gg |\textbf{t}|$ 

Quels systèmes?

Modèle de Hubbard  $U \gg |t|$ 

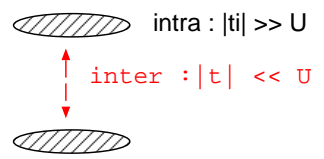
Plus généralement  $\mathbf{U}, \ \mathbf{V}, \ |\mathbf{J_H}| \gg |\mathbf{t}|, \ |\delta\varepsilon|$ 

Quels systèmes?

Modèle de Hubbard  $U \gg |t|$ 

$$t$$
 faible  $\longrightarrow$  ex : organiques

Plus généralement  $\mathbf{U}, \ \mathbf{V}, \ |\mathbf{J_H}| \gg |\mathbf{t}|, \ |\delta \varepsilon|$ 



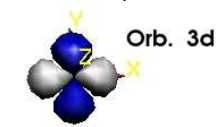
Quels systèmes?

Modèle de Hubbard 
$$U \gg |t|$$

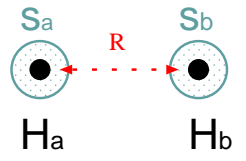
$$t$$
 faible  $\longrightarrow$  ex : organiques

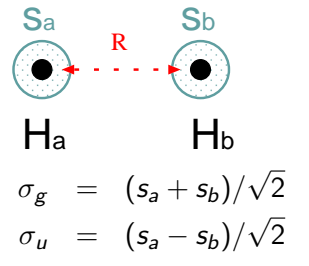
Plus généralement 
$$\mathbf{U}, \ \mathbf{V}, \ |\mathbf{J_H}| \gg |\mathbf{t}|, \ |\delta \varepsilon|$$

*U* fort  $\longrightarrow$  ex : orb. de faible extension spatiale 3d, 4f, 5f (4d, 5d moins corrélées)

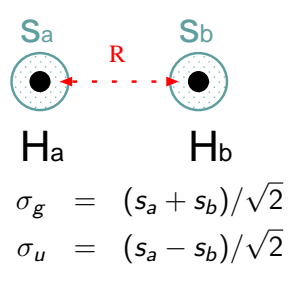








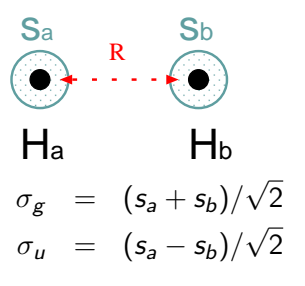
L'exemple le plus simple  $H_2$  à grande distance



#### **Etat fondamental**

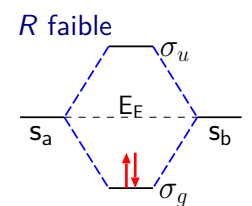
$$\begin{split} \Psi &= \cos \varepsilon |\sigma_g \bar{\sigma}_g \rangle - \sin \varepsilon |\sigma_u \bar{\sigma}_u \rangle \\ &= \cos \nu \left( |s_a \bar{s}_b \rangle + |s_b \bar{s}_a \rangle \right) \\ &+ \sin \nu \left( |s_a \bar{s}_a \rangle + |s_b \bar{s}_b \rangle \right) \end{split}$$

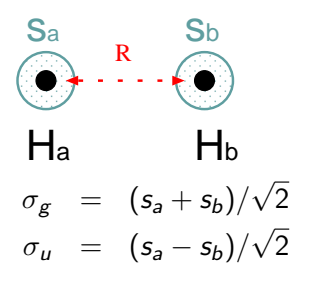
L'exemple le plus simple  $H_2$  à grande distance



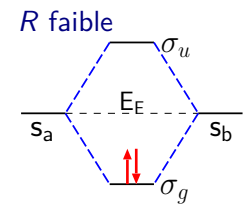
#### **Etat fondamental**

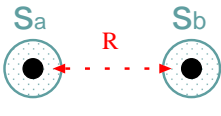
$$\begin{split} \Psi &= \cos \varepsilon |\sigma_g \bar{\sigma}_g \rangle - \sin \varepsilon |\sigma_u \bar{\sigma}_u \rangle \\ &= \cos \nu \left( |s_a \bar{s}_b \rangle + |s_b \bar{s}_a \rangle \right) \\ &+ \sin \nu \left( |s_a \bar{s}_a \rangle + |s_b \bar{s}_b \rangle \right) \end{split}$$





$$egin{array}{lll} \Psi &=& |\sigma_{g}ar{\sigma}_{g}
angle \ &=& rac{1}{\sqrt{2}}\left(|s_{a}ar{s}_{b}
angle + |s_{b}ar{s}_{a}
angle
ight) \ &&+ rac{1}{\sqrt{2}}\left(|s_{a}ar{s}_{a}
angle + |s_{b}ar{s}_{b}
angle
ight) \end{array}$$



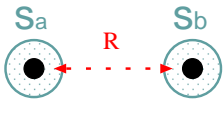


$$\sigma_g = (s_a + s_b)/\sqrt{2}$$

$$\sigma_u = (s_a - s_b)/\sqrt{2}$$

$$R \to +\infty$$
 : état fondamental

$$\Psi = \frac{1}{\sqrt{2}} |\sigma_g \bar{\sigma}_g\rangle - \frac{1}{\sqrt{2}} |\sigma_u \bar{\sigma}_u\rangle$$
$$= |s_a \bar{s}_b\rangle + |s_b \bar{s}_a\rangle$$



$$\sigma_g = (s_a + s_b)/\sqrt{2}$$
 $\sigma_u = (s_a - s_b)/\sqrt{2}$ 

$$R \to +\infty$$
 : état fondamental

$$\Psi = \frac{1}{\sqrt{2}} |\sigma_g \bar{\sigma}_g\rangle - \frac{1}{\sqrt{2}} |\sigma_u \bar{\sigma}_u\rangle$$
$$= |s_a \bar{s}_b\rangle + |s_b \bar{s}_a\rangle$$

- 1. Les fortes corrélations électroniques, qu'est ce que c'est?
- 2. L'atome dans son environnement
  - 2.1 Levée de dégénéréscence orbitalaire
    - La théorie de champs de ligands
    - Quelques exemples classiques d'environnements
  - 2.2 Trouver l'état fondamental atomique
    - ► Les paramètres importants
    - Exemples
    - ▶ La distorsion de Jahn-Teller
- 3. Interaction entre deux atomes
- 4. Le système infini

Levée de dégénéréscence orbitalaire

**Atome isolé :** 5 orb. *d*, 7 orb. *f* dégénérées

Levée de dégénéréscence orbitalaire

**Atome isolé :** 5 orb. *d*, 7 orb. *f* dégénérées

Atome non isolé : levée de dégénérescence due

Orbitales d

- potentiel électrostatique
- hybridation avec les ligands
- ► couplage spin-orbite

#### Orbitales f

- couplage spin-orbite
- potentiel électrostatique
- hybridation avec les ligands

Levée de dégénéréscence orbitalaire

**Atome isolé :** 5 orb. *d*, 7 orb. *f* dégénérées

Atome non isolé : levée de dégénérescence due

Orbitales **d** Orbitales **f** 

potentiel électrostatique

couplage spin-orbite

hybridation avec les ligands

#### Théorie de champs de ligands (orb. d)

Les orbitales des ligands sont :

- 1. doublement occupées
  - ▶ recouvrement ⟨orb. métal|orb. ligand⟩ max. ⇒ orb. métal /

Levée de dégénéréscence orbitalaire

**Atome isolé :** 5 orb. *d*, 7 orb. *f* dégénérées

Atome non isolé : levée de dégénérescence due

Orbitales **d** Orbitales **f** 

potentiel électrostatique

couplage spin-orbite

hybridation avec les ligands

#### Théorie de champs de ligands (orb. d)

Les orbitales des ligands sont :

- 1. doublement occupées
  - ▶ recouvrement ⟨orb. métal|orb. ligand⟩ max. ⇒ orb. métal /
- 2. vides
  - ▶ recouvrement ⟨orb. métal|orb. ligand⟩ max. ⇒ orb. métal \

La théorie de champs de ligands

# Une image simple : la théorie des liaisons fortes / Hückel

- ▶ Orb. métal  $\rightarrow \varepsilon_d$
- ▶ Orb. ligand  $\rightarrow \varepsilon_p$
- $\blacktriangleright |\varepsilon_d \varepsilon_p| \gg |t|$

La théorie de champs de ligands

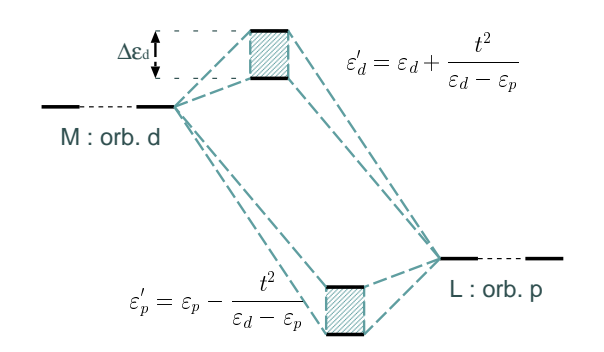
#### Une image simple : la théorie des liaisons fortes / Hückel

- ▶ Orb. métal  $\rightarrow \varepsilon_d$
- ▶ Orb. ligand  $\rightarrow \varepsilon_p$
- $\blacktriangleright |\varepsilon_d \varepsilon_p| \gg |t|$

#### Pour Chaque irrep.

La théorie de champs de ligands

# Orbitales ligands occuppées $\Rightarrow \varepsilon_d \gg \varepsilon_p$



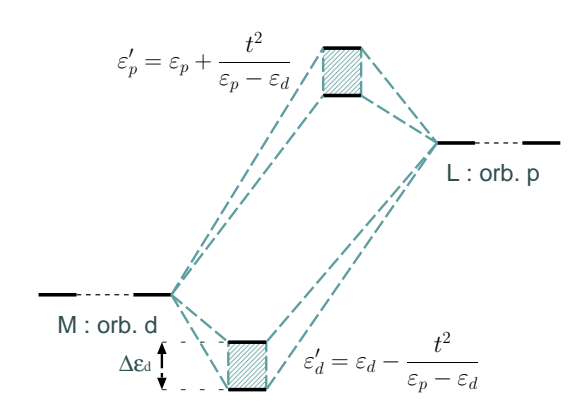
Orb. restent quasi-atomiques

$$\varphi'_{d} = \varphi_{d} + \frac{t}{\varepsilon_{d} - \varepsilon_{p}} \varphi_{p}$$

$$\varphi'_{p} = \varphi_{p} - \frac{t}{\varepsilon_{d} - \varepsilon_{p}} \varphi_{d}$$

La théorie de champs de ligands

Orbitales ligands vides  $\Rightarrow \varepsilon_d \ll \varepsilon_p$ 



Orb. restent quasi-atomiques

$$\varphi'_{d} = \varphi_{d} - \frac{t}{\varepsilon_{p} - \varepsilon_{p}} \varphi_{d}$$

$$\varphi'_{p} = \varphi_{p} + \frac{t}{\varepsilon_{p} - \varepsilon_{d}} \varphi_{d}$$

Exemples : Octaèdre

#### Ex: perovskites

Octaèdre

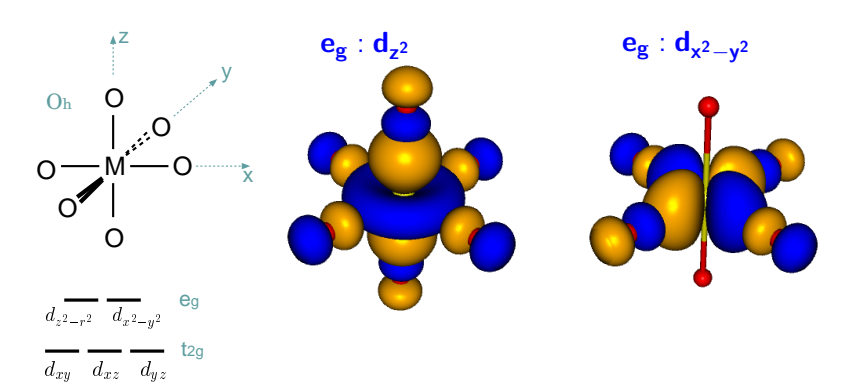


$$\frac{d_{z^2-r^2}}{d_{xy}} \frac{\overline{d_{x^2-y^2}}}{\overline{d_{xz}}} \frac{\text{eg}}{\overline{d_{yz}}}$$

Exemples : Octaèdre

#### Ex: perovskites

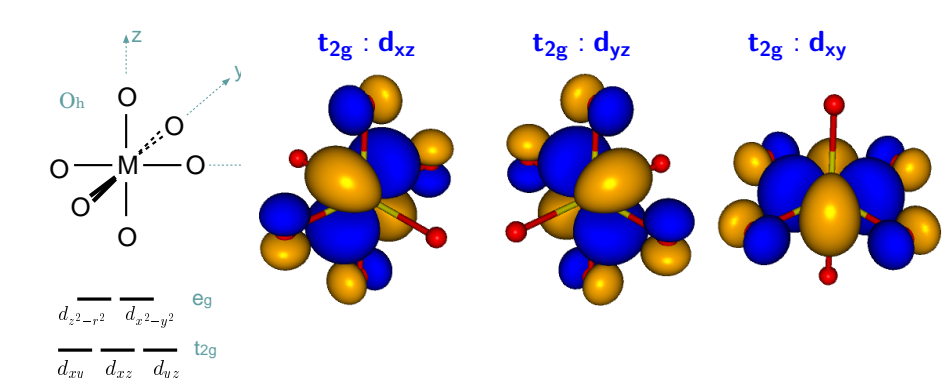
# Octaèdre



Exemples : Octaèdre



Octaèdre



Déterminer l'état fond. atomique

#### Energie de l'atome dans son environnement

• Ordre orbital dû au champ de ligands :  $\delta \varepsilon_i$ 

Déterminer l'état fond. atomique

#### Energie de l'atome dans son environnement

- ▶ Ordre orbital dû au champ de ligands :  $\delta \varepsilon_i$
- ► Répulsion Coulombienne : U, V

$$U = \int \frac{|d(\vec{r}_1)|^2 |d(\vec{r}_2)|^2}{r_{12}} d^3 r_1 d^3 r_2$$

$$V_{dd'} = \int \frac{|d(\vec{r}_1)|^2 |d'(\vec{r}_2)|^2}{r_{12}} d^3 r_1 d^3 r_2$$

Déterminer l'état fond. atomique

## Energie de l'atome dans son environnement

- ▶ Ordre orbital dû au champ de ligands :  $\delta \varepsilon_i$
- ► Répulsion Coulombienne : U, V
- ► Echange de Hund : J<sub>H</sub>

$$J_{H dd'} = \int \frac{d(\vec{r}_1)^{\dagger} d'(\vec{r}_1) \ d'(\vec{r}_2)^{\dagger} d(\vec{r}_2)}{r_{12}} d^3 r_1 d^3 r_2$$

Déterminer l'état fond. atomique

## Energie de l'atome dans son environnement

- ▶ Ordre orbital dû au champ de ligands :  $\delta \varepsilon_i$
- ► Répulsion Coulombienne : U, V
- ► Echange de Hund : J<sub>H</sub>

#### Remarques

• Atome isolé :  $U = V + 2J_H$ 

Déterminer l'état fond. atomique

## Energie de l'atome dans son environnement

- ▶ Ordre orbital dû au champ de ligands :  $\delta \varepsilon_i$
- ► Répulsion Coulombienne : U, V
- ► Echange de Hund : J<sub>H</sub>

#### Remarques

- Atome isolé :  $U = V + 2J_H$
- ullet Atome non isolé : orb. d diff. hybridées avec ligands
  - ⇒ relation seulement approximative

Déterminer l'état fond. atomique

## Energie de l'atome dans son environnement

- ▶ Ordre orbital dû au champ de ligands :  $\delta \varepsilon_i$
- ► Répulsion Coulombienne : U, V
- ► Echange de Hund : J<sub>H</sub>

#### Remarques

- Atome isolé :  $U = V + 2J_H$
- Atome non isolé : orb. d diff. hybridées avec ligands
   ⇒ relation seulement approximative
- V<sub>i,j</sub> J<sub>H i,j</sub> dépendent de i et j
   en général différence faible
   ds qq cas pourtant cruciale : Na<sub>x</sub>CoO<sub>2</sub>

Exemple : octahèdre

Exemple : octahèdre

Exemple: octahèdre

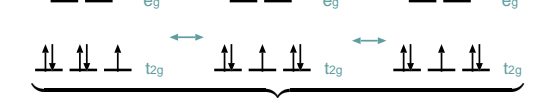
**Distorsion Jahn-Teller** 

Etat fond. dégénéré



**Distorsion Jahn-Teller** 

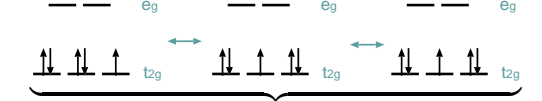
Etat fond. dégénéré



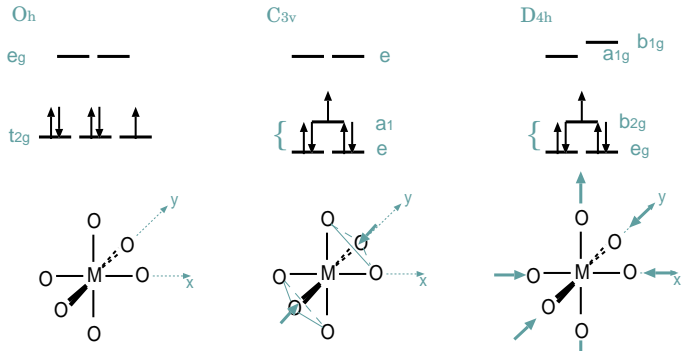
 $\Longrightarrow$  Distorsion locale  $\Longrightarrow$  levée de dégénérescence  $\Longrightarrow\searrow$  énergie

**Distorsion Jahn-Teller** 

Etat fond. dégénéré



 $\Longrightarrow$  Distorsion locale  $\Longrightarrow$  levée de dégénérescence  $\Longrightarrow\searrow$  énergie



- 1. Les fortes corrélations électroniques, qu'est ce que c'est?
- 2. L'atome dans son environnement
- 3 Interaction entre deux atomes
  - 3.1 Différents termes du couplage entre deux orb. magnétiques
    - Quelles interactions effectives, quel contenu?
    - Mécanismes de transfert
    - ► Mécanismes d'échange
  - 3.2 Influence de la géométrie
    - Systèmes non pontés
    - Systèmes pontés
  - 3.3 Couplage entre atomes à plusieurs couches ouvertes
- 4. Le système infini

# Quels degrés de liberté au niveau de Fermi Les orbitales portant les couches ouvertes

 Chalcogénures, halogénures de métaux de transition oxydes, sulfures, . . . fluorures, chlorures, . . .

Orbitales d des atomes métalliques



# Quels degrés de liberté au niveau de Fermi

Les orbitales portant les couches ouvertes

 Chalcogénures, halogénures de métaux de transition oxydes, sulfures, . . . fluorures, chlorures, . . .

Orbitales d des atomes métalliques

• Composés à base de terres rares sans métaux de transition , . . . ou sans couches d ouvertes. Ex :  $\mathrm{Dy_2Ti_2O_7} \to \mathrm{Dy_2^{3+}(4f^9)Ti_2^{4+}(3d^0)O_7^{2-}(2p^6)}$ 

Orbitales f des terres rares

# Quels degrés de liberté au niveau de Fermi

Les orbitales portant les couches ouvertes

 Chalcogénures, halogénures de métaux de transition oxydes, sulfures, . . . fluorures, chlorures, . . .

Orbitales d des atomes métalliques

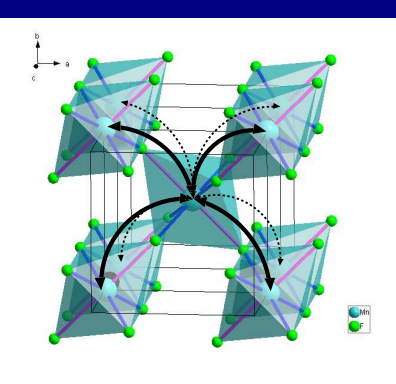
• Composés à base de terres rares sans métaux de transition , ... ou sans couches d ouvertes. Ex :  $\mathrm{Dy_2Ti_2O_7} \to \mathrm{Dy_2^{3+}(4f^9)Ti_2^{4+}(3d^0)O_7^{2-}(2p^6)}$ 

Orbitales f des terres rares

 Matériaux moléculaires [TTF]<sub>2</sub>[TCNQ]

Orbitales moléculaires portant les couches ouvertes

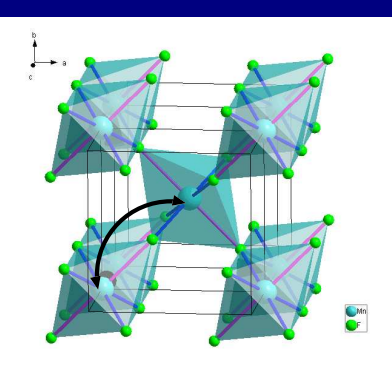
Quelles interactions effectives, quel contenu?



#### Interactions

- ▶ transferts  $(c_{i\,\sigma}^{\dagger}c_{j\,\sigma})$
- échanges  $(\vec{S}_i \cdot \vec{S}_j)$
- ▶ répulsion Coulombienne (n<sub>i</sub>n<sub>i</sub>)

Quelles interactions effectives, quel contenu?



#### Interactions

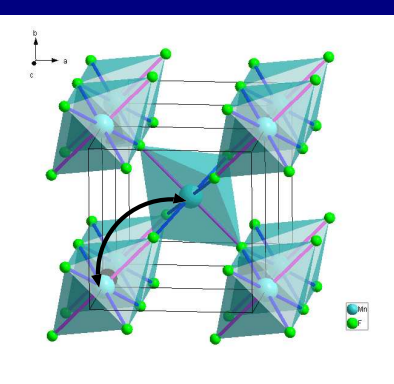
- ▶ transferts  $(c_{i\,\sigma}^{\dagger}c_{j\,\sigma})$
- échanges  $(\vec{S}_i \cdot \vec{S}_j)$
- ► répulsion Coulombienne (n<sub>i</sub>n<sub>i</sub>)

#### Mécanismes

▶ direct

(interaction 
$$\operatorname{Mn}_1(d) - \operatorname{Mn}_2(d')$$
 nue)

Quelles interactions effectives, quel contenu?



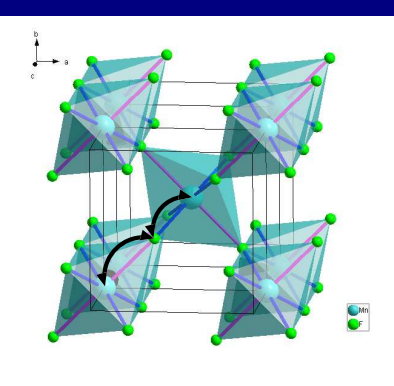
#### Interactions

- ▶ transferts  $(c_{i\,\sigma}^{\dagger}c_{j\,\sigma})$
- échanges  $(\vec{S}_i \cdot \vec{S}_j)$
- ► répulsion Coulombienne (n<sub>i</sub>n<sub>i</sub>)

#### Mécanismes

- ▶ direct (interaction  $Mn_1(d) Mn_2(d')$  nue)
- "through space" (super-échange)

Quelles interactions effectives, quel contenu?



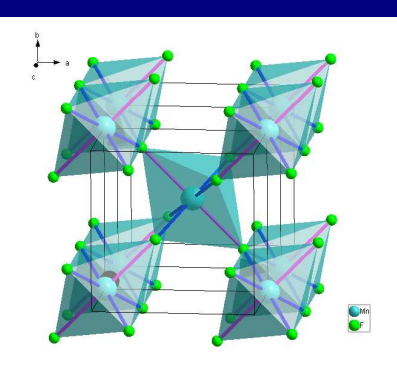
#### Interactions

- ▶ transferts  $(c_{i\,\sigma}^{\dagger}c_{j\,\sigma})$
- échanges  $(\vec{S}_i \cdot \vec{S}_j)$
- ► répulsion Coulombienne (n<sub>i</sub>n<sub>i</sub>)

#### Mécanismes

- ▶ direct (interaction  $Mn_1(d) Mn_2(d')$  nue)
- "through space" (super-échange)
- ▶ via les ligands ("through bridge")

Quelles interactions effectives, quel contenu?



#### Interactions

- ▶ transferts  $(c_{i\,\sigma}^{\dagger}c_{j\,\sigma})$
- échanges  $(\vec{S}_i \cdot \vec{S}_j)$
- ► répulsion Coulombienne (n<sub>i</sub>n<sub>i</sub>)

#### Mécanismes

- ▶ direct (interaction  $Mn_1(d) Mn_2(d')$  nue)
- "through space" (super-échange)
- ▶ via les ligands ("through bridge")
- ▶ écrantage

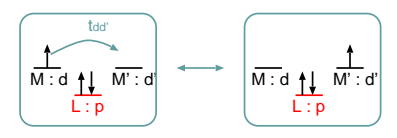
Mécanismes de transfert

▶ direct :  $t_0 = t_{dd'}$ 



Mécanismes de transfert

▶ direct :  $t_0 = t_{dd'}$ 

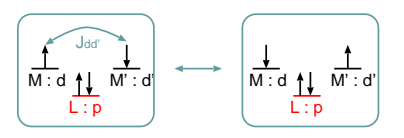


▶ via les ligands :  $t_2 = -\frac{t_{pd}t_{pd'}}{\delta_{pd} - U_p}$ 

$$\begin{array}{|c|c|c|}\hline & & & & \\\hline & & & \\\hline & M:d & & \\\hline & & \\\hline & & & \\\hline & & \\\hline$$

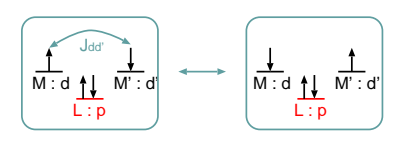
Mécanismes d'échange

▶ **direct** :  $J_0 = J_{dd'}$  toujours **ferro** et petit < 10 - 20meV



Mécanismes d'échange

▶ **direct** :  $J_0 = J_{dd'}$  toujours **ferro** et petit < 10 - 20 meV



► through space :  $J_2 = -\frac{t_{dd'}^2}{U - V}$  toujours antiferro, dépend de la distance M-M'

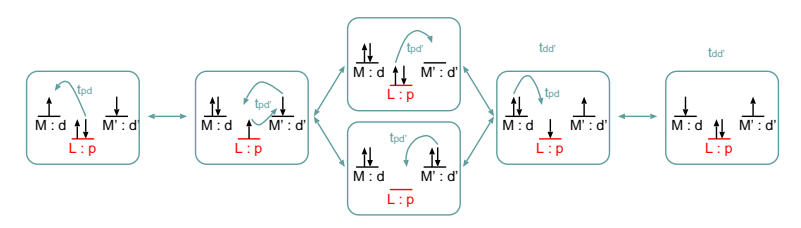


Mécanismes d'échange

▶ via les ligands : 
$$J_4 = -4$$
  $\underbrace{\frac{t_{pd}^2 t_{pd'}^2}{\Delta^2 U_d}}_{\text{dominant}} - 8$   $\underbrace{\frac{t_{pd}^2 t_{pd'}^2}{\Delta^2 (2\Delta + U_p - 2V_{pd})}}_{\text{en général faible}}$ 

avec 
$$\Delta = \delta_{pd} - U_p + U_d - V_{pd}$$

toujours **antiferro**, peut être grand  $\sim 100-200 \mathrm{meV}$ 



Influence de la géométrie : systèmes non pontés

- ▶ d(M-M') en général faibles
- pas de termes via les ligands
- $\blacktriangleright$   $|t_{dd'}|$  direct grands si non nul par sym. (plusieurs 100 meV)
- ▶  $|J_{dd'}|$  direct grands (qq 10 meV)

Influence de la géométrie : systèmes non pontés

- ▶ d(M-M') en général faibles
- ▶ pas de termes via les ligands
- ▶  $|t_{dd'}|$  direct grands si non nul par sym. (plusieurs 100 meV)
- ▶  $|J_{dd'}|$  direct grands (qq 10 meV)

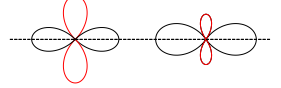
Si  $t_{dd'} \neq 0$  super-échange « through space » dominant



Influence de la géométrie : systèmes non pontés

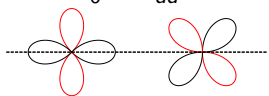
- ► d(M-M') en général faibles
- ▶ pas de termes via les ligands
- $\blacktriangleright$   $|t_{dd'}|$  direct grands si non nul par sym. (plusieurs 100 meV)
- ▶  $|J_{dd'}|$  direct grands (qq 10 meV)

Si  $t_{dd'} \neq 0$  super-échange « through space » dominant



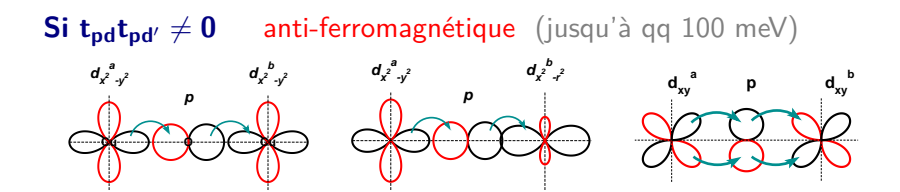
⇒ anti-ferromagnétique

Si  $\mathbf{t}_{dd'} = \mathbf{0}$   $J = J_0 = J_{dd'}$ : ferromagnétique



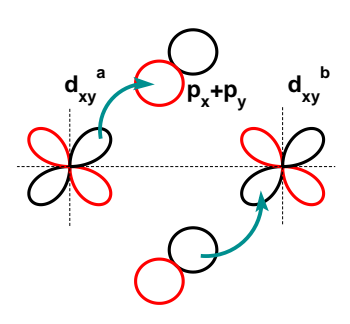
Influence de la géométrie : systèmes pontés

- ► d(M-M') grandes et d(M-L) faibles
- ▶ interactions directes  $|t_{dd'}|$ ,  $|J_{dd'}|$  très faible si non nul par sym.
- ▶  $|t_{pd}|$  grand  $(\sim 1\text{--}2 \text{ eV})$  si non nul par sym.
- ▶ interactions via les ligands dominantes (si non nul par sym.)



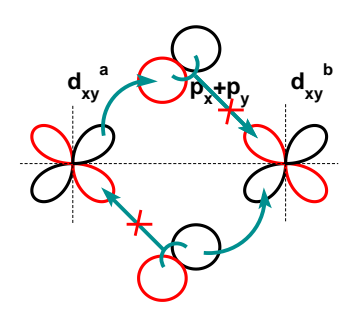
Influence de la géométrie : systèmes **pontés à**  $90^{\circ}$ 

Si 
$$t_{pd}t_{pd^{\prime}}=0$$



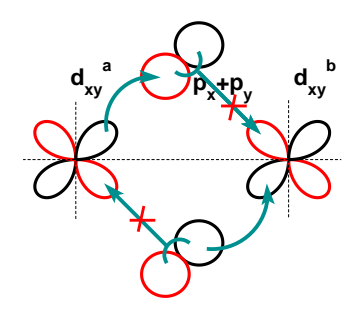
Influence de la géométrie : systèmes pontés à  $90^\circ$ 

Si 
$$t_{pd}t_{pd^{\prime}}=0$$



Influence de la géométrie : systèmes pontés à 90°

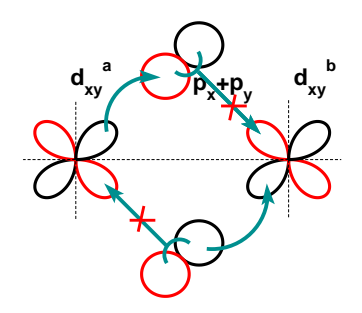
Si 
$$t_{pd}t_{pd^{\prime}}=0$$



▶ interactions via les ligands nulles

Influence de la géométrie : systèmes pontés à  $90^\circ$ 

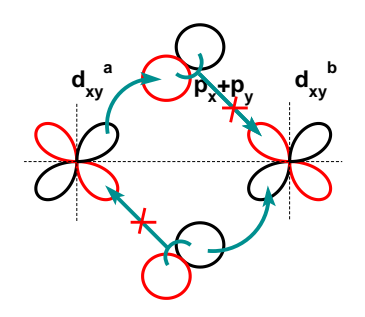
Si 
$$t_{pd}t_{pd^{\prime}}=0$$



- ▶ interactions via les ligands nulles
- ► termes directs dominants : ⇒ en général ferromagnétique

Influence de la géométrie : systèmes pontés à  $90^\circ$ 

Si 
$$t_{pd}t_{pd^\prime}=0$$



- ▶ interactions via les ligands nulles
- ► termes directs dominants : ⇒ en général ferromagnétique
- $\blacktriangleright$  Ex : le cas de  $Cu^{2+}$  bi-pontés par des oxygènes à 90°.

Influence de la géométrie : systèmes pontés à  $90^{\circ}$ 

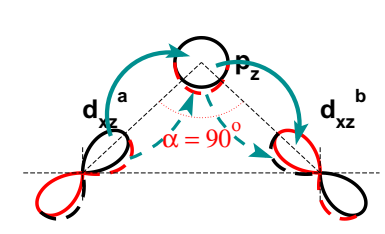
#### **ATTENTION**

Un angle à 90° n'implique pas toujours un échange FM

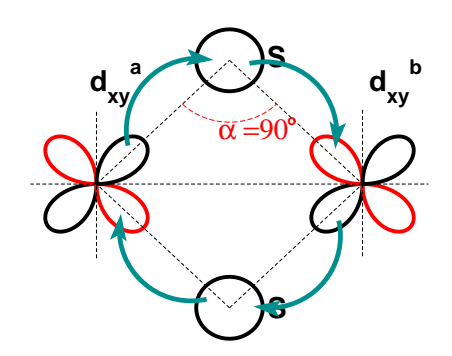
Influence de la géométrie : systèmes **pontés à**  $90^{\circ}$ 

#### **ATTENTION**

Un angle à 90° n'implique pas toujours un échange FM



Couplages AFM moyen



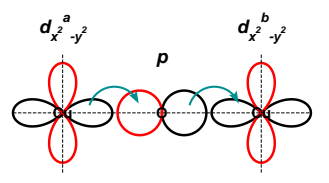
Couplages AFM faible

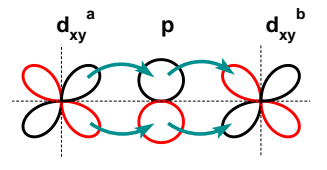
Couplage ponté entre atomes à plusieurs couches ouvertes

Atomes HS identiques à plusieurs orbitales d ouvertes

Couplage ponté entre atomes à plusieurs couches ouvertes

# **Atomes HS identiques à plusieurs orbitales** *d* **ouvertes** Selon les orbitales on peut avoir

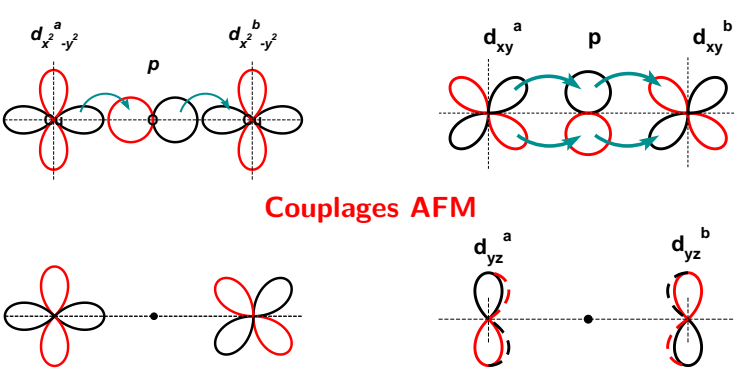




**Couplages AFM** 

Couplage ponté entre atomes à plusieurs couches ouvertes

# **Atomes HS identiques à plusieurs orbitales** *d* **ouvertes** Selon les orbitales on peut avoir

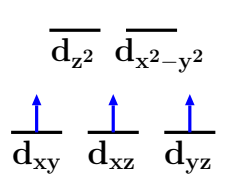


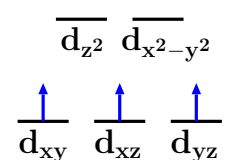
**Couplages FM** 

Couplage ponté entre atomes identiques à plusieurs couches ouvertes

Mn 3d

Exemple :  $\mathrm{Mn}^{4+}\text{-O}\text{-Mn}^{4+}$ 

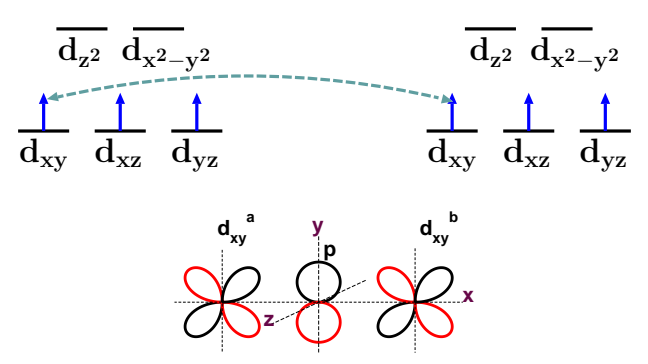




Couplage ponté entre atomes identiques à plusieurs couches ouvertes

Exemple :  $Mn^{4+}$ –O– $Mn^{4+}$ 

Couplage magnétique

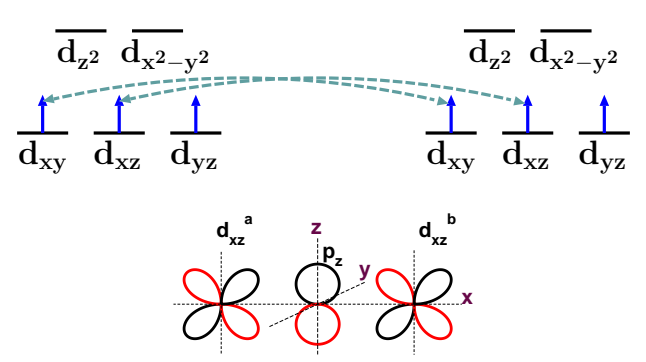


Super-échange via ligands : contribution AFM

Couplage ponté entre atomes identiques à plusieurs couches ouvertes

Exemple :  $\mathrm{Mn}^{4+}$ –O– $\mathrm{Mn}^{4+}$ 

Couplage magnétique

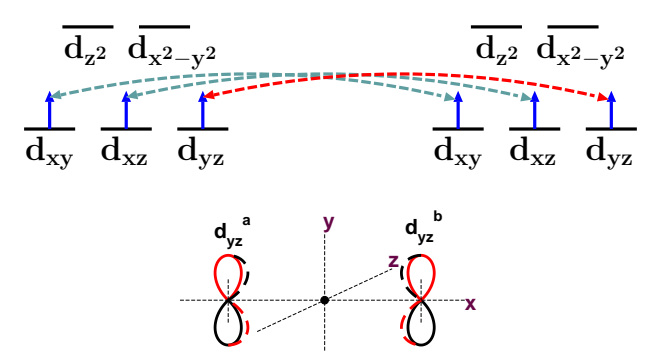


Super-échange via ligands : contribution AFM

Couplage ponté entre atomes identiques à plusieurs couches ouvertes

Exemple :  $\mathrm{Mn}^{4+}$ –O– $\mathrm{Mn}^{4+}$ 

Couplage magnétique

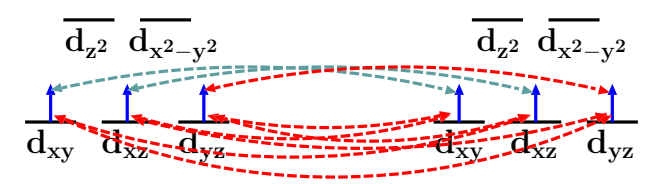


Pas de super-échange via ligands : contribution FM

Couplage ponté entre atomes identiques à plusieurs couches ouvertes

Exemple :  $\mathrm{Mn}^{4+}$ –O– $\mathrm{Mn}^{4+}$ 

Couplage magnétique

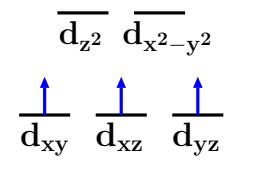


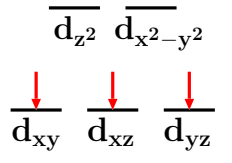
Autres contributions : FM

Couplage ponté entre atomes identiques à plusieurs couches ouvertes

Exemple :  $Mn^{4+}$ –O– $Mn^{4+}$ 

# Couplage magnétique





#### Résultat :

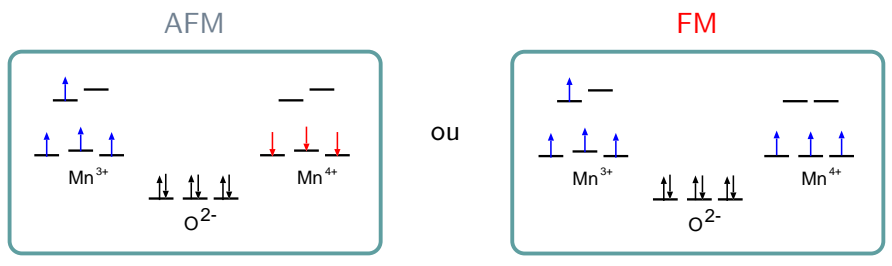
$$2 \times$$
 AFM  $\sim 2 \times (-30) \,\mathrm{meV} + 7 \times$  FM  $\sim 7 \times 3 \,\mathrm{meV}$ 

--> Généralement antiferromagnetique

 $Ex : SrMnO_3$ 

Double échange

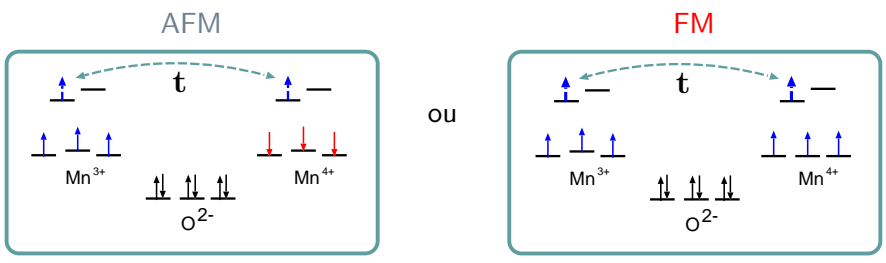
#### Atomes HS avec un nombre d'électrons différent



Compétition entre couplages FM / couplages AFM 
→ échange AFM

Double échange

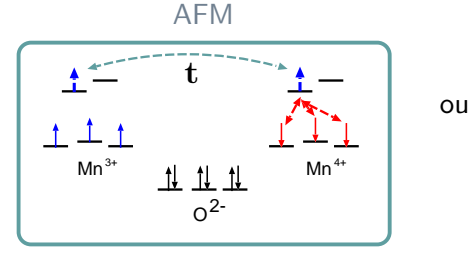
#### Atomes HS avec un nombre d'électrons différent



Effet de la délocalisation

Double échange

#### Atomes HS avec un nombre d'électrons différent

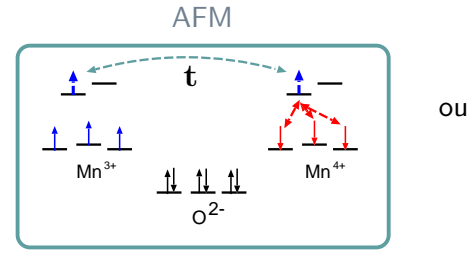


couplages AFM — gain : énergie de délocalisation

perte : échange intra-atom. (qq 300 meV)

Double échange

#### Atomes HS avec un nombre d'électrons différent



couplages AFM  $\longrightarrow$  gain : énergie de délocalisation

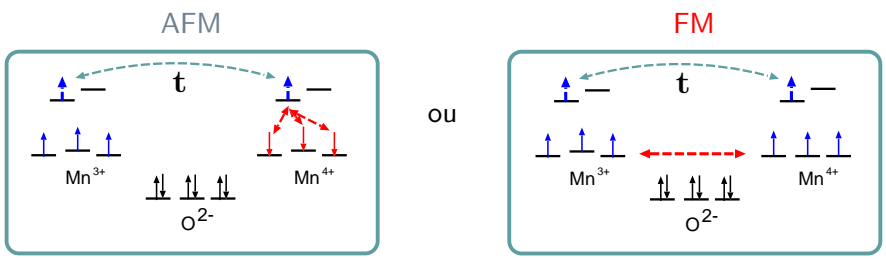
perte : échange intra-atom. (qq 300 meV)

couplages FM → gain : énergie de délocalisation

perte: échange inter-atom. (qq 10 meV)

Double échange

#### Atomes HS avec un nombre d'électrons différent



couplages FM favorable

- 1. Les fortes corrélations électroniques, qu'est ce que c'est?
- 2. L'atome dans son environnement
- 3. Interaction entre deux atomes
- 4. Le système infini
  - 4.1 La structure de bande

La structure de bande

# L'atome ou la brique de base

- ► Orbitales qui portent la phys. (resp. prop. basse énergie)
- Energies orbitalaires :  $\hat{H} = \sum_{i} \varepsilon_{i} \hat{a}_{i}^{\dagger} \hat{a}_{i}$

La structure de bande

## L'atome ou la brique de base

- ► Orbitales qui portent la phys. (resp. prop. basse énergie)
- ► Energies orbitalaires :  $\hat{H} = \sum_{i} \varepsilon_{i} \hat{a}_{i}^{\dagger} \hat{a}_{i}$

#### Les interactions

- tranferts, coulomb, échange
- Modèle type Hubbard (électrons)

$$\hat{H} = \sum_{i} \varepsilon_{i} \hat{a}_{i}^{\dagger} \hat{a}_{i} + \sum_{\langle i,j \rangle} t_{ij} \hat{a}_{i}^{\dagger} \hat{a}_{j} + \hat{a}_{j}^{\dagger} \hat{a}_{i} + \sum_{i} U_{i} \hat{n}_{i\uparrow} \hat{n}_{i\downarrow} + \sum_{\langle i,j \rangle} V_{i,j} \hat{n}_{i} \hat{n}_{j}$$

La structure de bande

## L'atome ou la brique de base

- ► Orbitales qui portent la phys. (resp. prop. basse énergie)
- ► Energies orbitalaires :  $\hat{H} = \sum_{i} \varepsilon_{i} \hat{a}_{i}^{\dagger} \hat{a}_{i}$

#### Les interactions

- ► tranferts, coulomb, échange
- ► Modèle type Hubbard (électrons)
- ► Modèle de spin, type Heisenberg

$$\hat{H} = \sum_{\langle i,j \rangle} J_{i,j} \hat{S}_i \cdot \hat{S}_j$$

La structure de bande

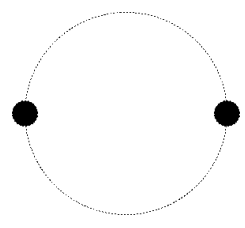
- ▶ Partie (ou approximation) à 1ē
- ▶ Base d'irrep du groupe de symétrie (de translation) :  $\vec{k}$
- Diagonalisation (plusieurs bandes)

#### La structure de bande

- ▶ Partie (ou approximation) à 1ē
- ▶ Base d'irrep du groupe de symétrie (de translation) :  $\vec{k}$
- ► Diagonalisation (plusieurs bandes)

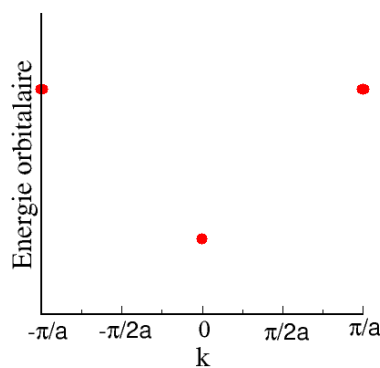
## Exemple chaîne 1D

▶ 2 sites



Posons 
$$k = p \frac{\pi}{Na}$$
  
 $p = -(\frac{N}{2} - 1)a, \dots, \frac{N}{2}a$ 



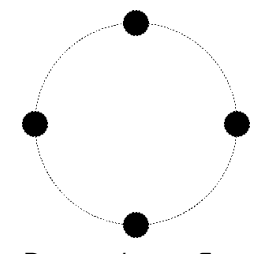


#### La structure de bande

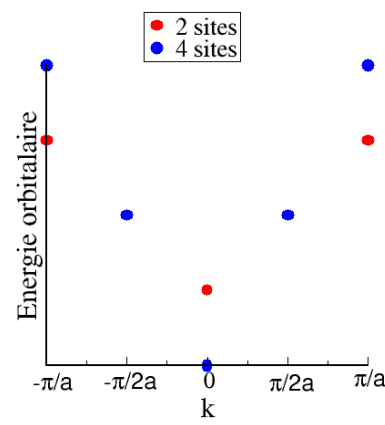
- ▶ Partie (ou approximation) à 1ē
- ▶ Base d'irrep du groupe de symétrie (de translation) :  $\vec{k}$
- Diagonalisation (plusieurs bandes)

# Exemple chaîne 1D

▶ 4 sites



Posons 
$$k = p \frac{\pi}{Na}$$
  
 $p = -(\frac{N}{2} - 1)a, \dots, \frac{N}{2}a$ 



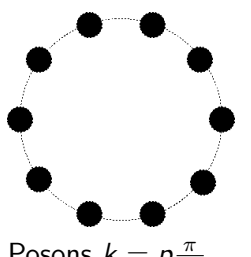
**Atomes** ←→ bandes et magnétisme

#### La structure de bande

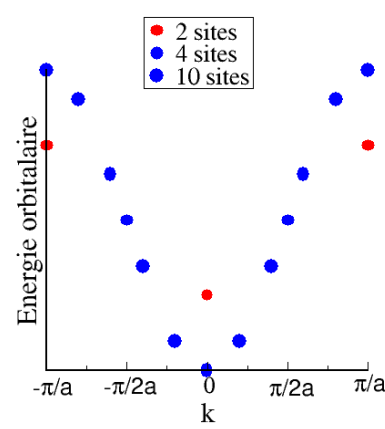
- ▶ Partie (ou approximation) à 1ē
- ▶ Base d'irrep du groupe de symétrie (de translation) :  $\vec{k}$
- ► Diagonalisation (plusieurs bandes)

# Exemple chaîne 1D

▶ 10 sites



Posons 
$$k = p \frac{\pi}{Na}$$
  
 $p = -(\frac{N}{2} - 1)a, \dots, \frac{N}{2}a$ 

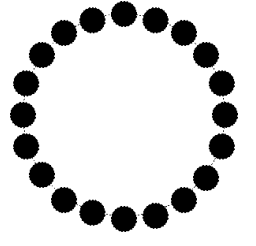


#### La structure de bande

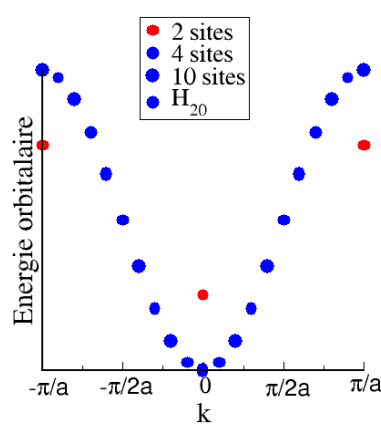
- ▶ Partie (ou approximation) à 1ē
- ▶ Base d'irrep du groupe de symétrie (de translation) :  $\vec{k}$
- Diagonalisation (plusieurs bandes)

# Exemple chaîne 1D

▶ 20 sites



Posons 
$$k = p \frac{\pi}{Na}$$
  
 $p = -(\frac{N}{2} - 1)a, \dots, \frac{N}{2}a$ 

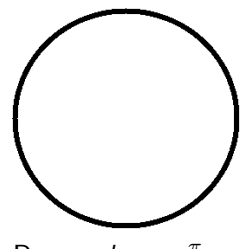


#### La structure de bande

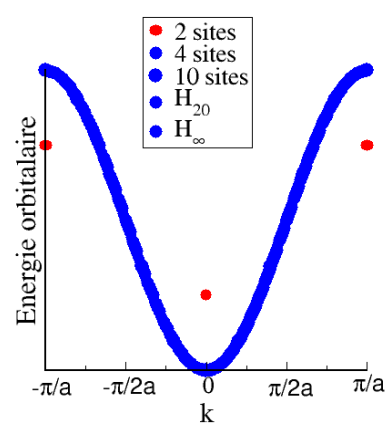
- ▶ Partie (ou approximation) à 1ē
- ▶ Base d'irrep du groupe de symétrie (de translation) :  $\vec{k}$
- ► Diagonalisation (plusieurs bandes)

# Exemple chaîne 1D

► Chaîne infinie

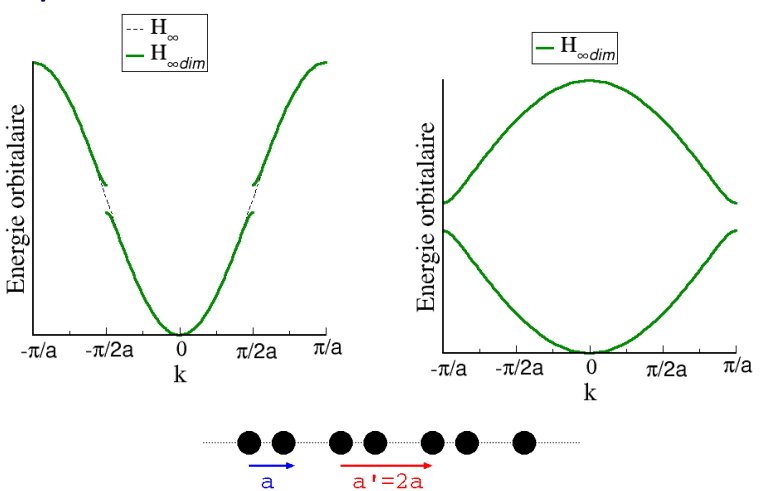


Posons 
$$k = p \frac{\pi}{Na}$$
  
 $p = -(\frac{N}{2} - 1)a, \dots, \frac{N}{2}a$ 



La structure de bande

## 1D plusieurs bandes : chaîne dimérisée



# **Conclusion**

#### Comment analyser un problème?

- Splitting des orbitales
  - ---- champ de ligand et symétrie locale
- Etat de spin atomique : compétition splitting / échange de Hund
- ➤ Couplage entre les atomes, 1 couche ouverte / atome : Si interaction pontée par les ligands : en général AFM Si interaction non-pontée par les ligands : en général FM
- Couplage entre les atomes, plusieurs couches ouvertes :
   Si pas de délocalisation possible : en général AFM
   Si délocalisation possible : en général FM

Attention : ces règles ne sont valides qu'en général

Regarder au cas par cas

# Quelques références

- ▶ Nombreux livres sur la théorie du champ de ligand.
- ▶ J. B. Goodenough, « Magnetism and chemical bond », Interscience publishers (1963).
- P. de Loth, P. Cassoux, J. P. Daudey et J. P. Malrieu, J. Am. Chem. Soc. 103, 4007 (1981).
- ▶ M.B. Lepetit, *Recent Research Developments in Quantum Chemistry 3*, p. 143, Transword Research Network (2002).

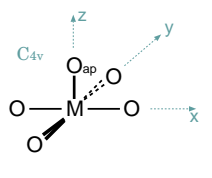
# Quelques suppléments

- 2. L'atome dans son environnement
  - ▶ Quelques exemples classiques d'environnements
    - La pyramide à base carrée
    - ► le plan carré
    - ▶ Le tétraèdre
    - La pyramide à base triangulaire

Exemples : pyramide à base carrée

Ex : oxydes de cuivre, vanadium, supra haute  $T_c$ 

Pyramide à base carrée

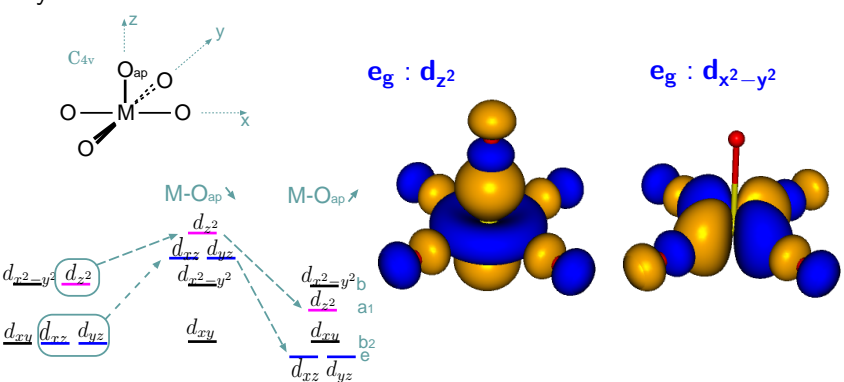




Exemples : pyramide à base carrée

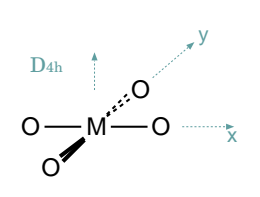
Ex : oxydes de cuivre, vanadium, supra haute  $T_c$ 

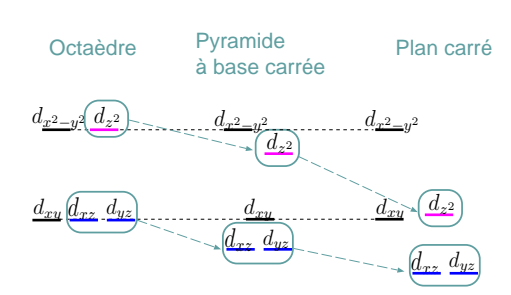
Pyramide à base carrée



Exemples : plan carré

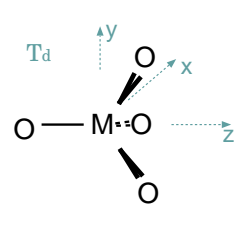
# Pyramide à base carrée





Exemples : tétraèdre, pyramide à base triangulaire

#### Tétrahèdre



$$\frac{d_{xy}}{d_{z^2}} \frac{d_{xz}}{d_{x^2-y^2}}$$
 to

## Bi-pyramide à base triangulaire

